

Ispitivanje odzivnih karakteristika FISE s membranom LaF3 dimenzije 8x1,5 mm

Vrgoč, Karla

Undergraduate thesis / Završni rad

2019

Degree Grantor / Ustanova koja je dodijelila akademski / stručni stupanj: **University of Split, Faculty of Chemistry and Technology / Sveučilište u Splitu, Kemijsko-tehnološki fakultet**

Permanent link / Trajna poveznica: <https://urn.nsk.hr/urn:nbn:hr:167:242466>

Rights / Prava: [In copyright](#)/[Zaštićeno autorskim pravom.](#)

Download date / Datum preuzimanja: **2024-09-01**

Repository / Repozitorij:

[Repository of the Faculty of chemistry and technology - University of Split](#)



SVEUČILIŠTE U SPLITU
KEMIJSKO-TEHNOLOŠKI FAKULTET

ISPITIVANJE ODZIVNIH KARAKTERISTIKA FISE S MEMBRANOM LaF_3
DIMENZIJE 8x1,5 mm

ZAVRŠNI RAD

KARLA VRGOČ
Matični broj: 312

SPLIT, rujan 2019.

SVEUČILIŠTE U SPLITU
KEMIJSKO-TEHNOLOŠKI FAKULTET
PREDDIPLOMSKI STUDIJ KEMIJE

ISPITIVANJE ODZIVNIH KARAKTERISTIKA FISE S MEMBRANOM LaF_3
DIMENZIJE 8x1,5 mm

ZAVRŠNI RAD

KARLA VRGOČ
Matični broj: 312

SPLIT, rujan 2019.

**UNIVERSITY OF SPLIT
FACULTY OF CHEMISTRY AND TECHNOLOGY
CHEMISTRY**

**TESTING THE RESPONSE CHARACTERISTICS FISE WITH LaF_3 MEMBRANE
DIMENSION 8x1,5 mm
BACHLEOR THESIS**

**KARLA VRGOČ
Parent number: 312**

SPLIT, september 2019.

TEMELJNA DOKUMENTACIJSKA KARTICA

ZAVRŠNI RAD

Sveučilište u Splitu

Kemijsko-tehnološki fakultet u Splitu

Preddiplomski studij kemije

Znanstveno područje: prirodne znanosti

Znanstveno polje: kemija

Tema rada je prihvaćena na 19. sjednici Fakultetskog vijeća Kemijsko-tehnološkog fakulteta

Mentor: prof. dr. sc. Marija Bralić

Pomoć pri izradi: mag. chem. asistent Josip Radić

ISPITIVANJE ODZIVNIH KARAKTERISTIKA FISE S MEMBRANOM LaF_3 DIMENZIJE 8x1,5 mm

Karla Vrgoč, 312

Sažetak: U ovom radu ispitivane su odzivne karakteristike fluorid ionsko - selektivne elektrode (FISE) s membranom LaF_3 (Eu 0,3%) 8x1,5mm te unutarnjim elektrolitnim odnosno s unutarnjim čvrstim kontaktom pri pH 4,70.

Ispitivan je i utjecaj nanočestica, koje su bile nanosene na površinu membrane, na odzivne karakteristike FISE.

Elektroda uglavnom slijedi linearnu promjenu raspona potencijala do koncentracije fluorida niže od $1 \times 10^{-5} \text{ mol L}^{-1}$ s promjenom potencijala po koncentracijom od 10^{-5} do 10^{-1} .

Također je ispitan je i odziv elektrode u ovisnosti o vremenu. Stabilan potencijal za membranu LaF_3 (Eu 0,3%) 8x1,5 se uspostavlja u vremenu od 0 min do 5 min, što ovisi o kondicioniranju same elektrode, ali i o unutarnjem kontaktu. Najbržu uspostavu stabilnog potencijala elektroda je pokazala s elektrolitnim kontaktom pri koncentraciji fluorida od $10^{-3} \text{ mol L}^{-1}$.

Ključne riječi: potenciometrija, potenciometrijski senzori, membranske elektrode, FISE, lantanov(III) fluorid

Rad sadrži: 40 stranica, 12 slika, 11 tablica i 16 referenci

Jezik izvornika: hrvatski

Sastav povjerenstva za obranu:

1. Doc. dr. sc. Ante Prkić - član
2. Izv. prof. dr. sc. Josipa Giljanović - predsjednik
3. Prof. dr. sc. Marija Bralić – član - mentor

Datum obrane: 27. rujna 2019

Rad je u tiskanom i elektroničkom (pdf formatu) obliku pohranjen u Knjižnici Kemijsko – tehnološkog fakulteta Split, Ruđera Boškovića 35.

BASIC DOCUMENTATION CARD

BACHELOR THESIS

University of Split
Faculty of Chemistry and Technology Split
Undergraduate study of chemistry

Scientific area: natural science

Scientific filed: chemistry

Thesis subject was approved by Faculty Council of Faculty of Chemistry and Technology, 19. session held on November 23rd 2018

Mentor: prof. dr. sc. Marija Bralić

Technical assistance: mag. chem., assistant Josip Radić

Tetsing the response characteristics FISE with LaF₃ membrane dimension 8x1,5 mm

Karla Vrgoč, 312

Abstract: In this paper, were examined the response characteristics of a fluoride ion selective electrode (FISE) with a LaF₃ membrane (Eu 0.3%) 8x1.5mm and internal electrolyte and internal solid contact at pH 4.70.

The effect of nanoparticles deposited on the membrane surface on the response characteristics of FISE was also examined.

The electrode generally follows a linear change in potential up to a fluoride concentration lower than 1×10^{-5} mol L⁻¹ with a change in potential at a concentration range of 10^{-5} do 10^{-1}

The response of the electrode as a function of time was also examined. The stable membrane potential of LaF₃ (Eu 0.3%) 8x1.5 is established in the time from 0 min to 5 min, which depends on the conditioning of the electrode itself and also on the internal contact. The fastest establishment of the stable potential of the electrode was demonstrated by electrolyte contact at a fluoride concentration of 10^{-3} mol L⁻¹.

Keywords: potentiometry, potentiometric sensors,, membrane electrode, FISE, lantan(III) fluorid

Thesis contains: : 40 pages, 12 figures, 11 tables and 16 references

Original in: Croatian

Defence committee:

1. Doc. dr. sc. Ante Prkić – PhD, assistant professor, member
2. Izv. prof. dr. sc. Josipa Giljanović - PhD, associate professor, chair person
3. Prof. dr. sc. Marija Bralić - PhD, full professor, supervisor

Defence date: September 27, 2019.

Printed and electronic (pdf format) version of thesis is deposited in Library of Faculty of Chemistry and Technology Split, Ruđera Boškovića 33.

Završni rad je izrađen u Zavodu za kemiju okoliša Kemijsko – tehnološkog fakulteta u Splitu pod mentorstvom izv. prof. dr. sc. Marije Bralić, u razdoblju od 5. ožujka 2019. do 14. lipnja 2019.

Veliku zahvalnost dugujem svojoj mentorici prof. dr. sc. Mariji Bralić za dostupnost uređaja i pomoć pruženu tijekom izrade završnog rada. Također za odgovor na sva pitanja koja sam imala, savjetima i konstruktivnim kritikama, te asistentu Josipu Radiću za pristupačnost i pruženu pomoć.

ZADATAK ZAVRŠNOG RADA

1. Ispitivanje odzivnih karakteristika fluorid ionsko-selektivne elektrode s membranom LaF_3 (Eu 0,3%) $8 \times 1,5 \text{ mm}$ te unutarnjim elektrolitnim odnosno s unutarnjim čvrstim kontaktom.
2. Ispitati odziv fluorid ionsko-selektivne elektrode s membranom LaF_3 (Eu 0,3%) $8 \times 1,5 \text{ mm}$ te unutarnjim elektrolitnim odnosno s unutarnjim čvrstim kontaktom u ovisnosti o vremenu

SAŽETAK

U ovom radu ispitivane su odzivne karakteristike fluorid ionsko selektivne elektrode (FISE) s membranom LaF_3 (Eu 0,3%) $8 \times 1,5$ mm, te unutarnjim elektrolitnim odnosno s unutarnjim čvrstim kontaktom pri pH 4,70. Promjena potencijala po koncentracijskoj dekadi za ispitivanu membranu ovisila je o kondicioniranju elektrode odnosno o unutarnjem kontaktu. Kad membrana nije bila kondicionirana promjena potencijala po koncentracijskoj dekadi iznosila je 68 mV odnosno 56 mV. Kod elektrolitnog kontakta iznosila je 50 odnosno 55 mV. Kad su na površinu membrane bile nanosene nanočestice promjena potencijala po koncentracijskoj dekadi je bila u rasponu od 48 do 65 mV.

Također je ispitan je i odziv elektrode u ovisnosti o vremenu. Stabilan potencijal za membranu LaF_3 (Eu 0,3%) $8 \times 1,5$ mm se uspostavlja u vremenu od 0 minuta do 5 minuta, što ovisi o kondicioniranju same elektrode, ali i o unutarnjem kontaktu. Najbržu uspostavu stabilnog potencijala elektroda je pokazala kada je unutarnji kontakt bio čvrsti kontakt kondicionirana i pri koncentraciji fluorida od 10^{-3} mol L^{-1} .

SUMMARY:

In this paper were examined the response characteristics of a fluoride ion selective electrode (FISE) with a LaF_3 membrane (Eu 0,3%) 8x1,5 mm and internal electrolyte and internal solid contact at pH 4.70. The change in potential per concentration decade for the test membrane depended on the electrode conditioning and the internal contact. When the membrane was not conditioned, the change in potential per concentration decade was 68 mV and 56 mV, respectively. At electrolyte contact it was 50 and 55 mV. When nanoparticles were applied to the membrane surface, the change in potential per concentration decade ranged from 65 to 48 mV.

The response of the electrode as a function of time was also examined. A stable membrane potential of LaF_3 (Eu 0,3%) 8x1,5mm is established in the time from 0 minutes to 5 minutes, which depends on the conditioning of the electrode itself and also on the internal contact. The fastest establishment of a stable electrode potential was demonstrated when the internal contact was solid contact conditioned and at a fluoride concentration of $10^{-3} \text{ mol L}^{-1}$.

SADRŽAJ:

| | |
|--|----|
| UVOD..... | 2 |
| 1. OPĆI DIO | 4 |
| 1.1 POTENCIOMTERIJA | 5 |
| 1.2. POTENCIOMETRIJSKI SENZORI..... | 5 |
| 1.2.1. INDIKATORSKE ELEKTRODE..... | 6 |
| 1.2.2. KOVINSKE ELEKTRODE..... | 7 |
| 1.3. REFERENDNE ELEKTRODE..... | 7 |
| 1.3.1. KALMELOVA ELEKTRODA..... | 7 |
| 1.3.2. SREBRO/SREBROV KLORID ELEKTRODA..... | 8 |
| 1.4. IONSKO - SELEKTIVNE ELEKTRODE..... | 8 |
| 1.4.1. VRSTE IONSKO-SELEKTIVNIH ELEKTRODA..... | 9 |
| 1.4.2. MEMBRANSKE ELEKTRODE | 9 |
| 1.4.3. ELEKTRODE S KRISTALNOM MEMBRANOM | 9 |
| 1.4.4. HOMOGENE I HETEROGENE MEMBRANE | 9 |
| 1.4.5. ELEKTRODE S NEKRISTALNOM MEMBRANOM | 10 |
| 1.4.6. ELEKTRODE SA STAKLENOM MEMBRANOM..... | 10 |
| 1.4.7. ELEKTRODE S MOBILNIM PRENOSIOCEM | 10 |
| 1.4.8. PLINSKE ELEKTRODE..... | 11 |
| 1.4.9. ENZIMSKE ELEKTRODE (BIOSENZORI)..... | 11 |
| 1.5. FLOURID IONSKO-SELEKTIVNA ELEKTRODA | 11 |
| 1.5.1. PRIMJENA FISE U PRAKTIČNIM ANALIZAMA..... | 11 |
| 1.5.2. VRIJEME ŽIVOTA FISE..... | 12 |
| 1.5.3. GRANICA DETEKCIJE FLUORID IONSKO-SELEKTIVNE ELEKTRODE | 12 |
| 1.6. PREGLED NOVIJE LITERATURE | 12 |
| 2. METODIKA | 15 |
| 2.1. PRIPRAVA OTOPINA..... | 15 |
| 2.1.1. OTOPINA KALIJEVA NITRATA | 15 |
| 2.1.2. OSNOVNA OTOPINA NATRIJEVA FLUORIDA ($c=0,1000 \text{ mol L}^{-1}$)..... | 15 |
| 2.1.3. PRIPRAVA ACETATNOG PUFERA $\text{pH} = 4,7$ | 15 |
| 2.1.4. OTOPINA ZA RAZRJEĐENJE | 15 |
| 2.2. MJERNI UREĐAJI I PRIBOR..... | 16 |
| 3. REZULTATI MJERENJA..... | 18 |
| 3.1. TESTIRANJE ODZIVA FLUORID IONSKO-SELEKTIVNE ELEKTRODE | 18 |

| | |
|---|----|
| 3.2. PROMJENA POTENCIJALA FISE S VREMENOM | 22 |
| 4. RASPRAVA | 35 |
| 5. ZAKLJUČAK | 38 |
| 6. LITERATURA..... | 40 |

UVOD

UVOD

Analitička kemija je grana kemije koja nam omogućava saznanje o kompoziciji ispitane tvari, oboje kvantitativno (sastav ispitane tvari) i kvalitativno (količina tražene tvari). Tijekom povijesti znanstvenici su razvili različite metode za ispitivanje tvari od interesa uključujući: analitičku kemiju, fizikalnu kemiju i biokemiju. Sama analitička kemija se može podijeliti u četiri grane: gravimetrija, volumetrija, elektroanalitička kemija, te spektroskopijske metode. Tijekom ovog završnog rada pobliže smo se upoznali sa elektroanalitičkom metodom. Elektroanalitičke metode uključuju: kolumetrija, amperometrija, voltometrija, potenciometrija itd. Potencijometrijska metoda, koju smo koristili za pisanje ovoga završnog rada ima prednosti kao jednostavnost izvedbe, kratko vrijeme odziva pri niskim koncentracijama, primjena jednostavnih uređaja.

Ionsko-selektivne elektrode (ISE) su elektrode čiji odziv ovisi o koncentraciji određenih iona u otopini. Često se primjenjuju za potrebe analize industrijskih uzoraka. Prilikom izbora za primjenu ISE uzimamo u obzir: raspoložive tehnike, mogućnost servisiranja i održavanja, stupanj vještine da se ovlada metodom, točnost i preciznost, te cijenu opreme.

U ovome završnome radu rabimo ionsko-selektivnu elektrodu (ISE). Rezultati dobiveni eksperimentalnim djelom opisani su u daljnjem tekstu.

Ispitivane su odzivne karakteristike ionsko selektivne fluoridne elektrode s membranom LaF_3 s udjelom od 0,3 % europija i debljinom membrane $8 \times 1,5$ mm, membrane čiji odziv ovisi o koncentraciji fluoridnih iona u otopini.

1. OPĆI DIO

1.1 POTENCIOMTERIJA

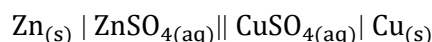
Potencijometrija je elektroanalitička metoda u kojoj se mjeri razlika potencijala između elektroda elektrokemijske ćelije uz ravnotežne uvjete. Mjerenje napona ćelije provodi se tako da kroz ćeliju ne teče struja, odnosno teče tako malena električna struja da ne utječe mjerljivo na stanje ravnoteže na elektrodama.¹ Jednu od elektroda u ćeliji nazivamo referentna elektroda, dok drugu elektrodu nazivamo indikatorskom elektrodom. Referentna elektroda služi kao standard prema kojem mjerimo potencijal indikatorske elektrode, te ne ovisi o koncentraciji iona u otopini. Indikatorska elektroda, razvija potencijal koji ovisi o aktivitetu (koncentraciji) analita u ispitivanoj otopini.

Razlika potencijala između elektroda ćelije mjeri se uz pomoć mjernih uređaja potenciometra (uređaj za mjerenje potencijala s visokim unutarnjim otporom), te voltmetra s velikom ulaznom impedancijom (Z), tzv. pH-metrom, odnosno pIometar.

Kako bi se mogao odrediti potencijal članka potrebno je da ćelija sadržava i elektrolitni most. Elektrolitni most omogućuje prijenos elektrona. Referentna elektroda, indikatorska elektroda i elektrolitni most zajedno čine elektrodni članak koji se može napisati na sljedeći način:

indikatorska elektroda | otopina 1 | elektrolitni most | otopina 2 | referentna elektroda

Za primjer uzimamo zapis članka:



S obzirom na izvor električne energije postoje dvije vrste potencijalnog članka:

- elektrolitski (potreban vanjski izvor energije za odvijanje reakcije tj. prijenosa elektrona)
- galvanski članak (dolazi do spontanog prijenosa elektrona).

1.2. POTENCIOMETRIJSKI SENZORI

Spadaju u skupinu kemijskih senzora. Potenciometrijski senzori spadaju u elektrokemijske detektore koji su najviše pogodni tehnikama protoka zbog njihovog jednostavnog rada, izravne primjene na analite i izuzetno širokih raspona dinamičkih koncentracija koji često obuhvaćaju nekoliko redova veličina.²

Kemijski senzori trebali bi zadovoljavati navedene kriterije:

- a) Brzi odziv
- b) Održavati signal stabilnim tijekom određenoga dužeg vremenskog perioda
- c) Malene veličine
- d) Jeftina cijena
- e) Specifični
- f) Selektivni

Senzor obično sadrži dvije temeljne komponente povezane u seriju, a to su: sustav za prepoznavanje i primanje molekula (receptor) te fizikalno-kemijski prijenosnik. Uz navedene komponente senzor sadrži još neke elemente koji su potrebni za pojačavanje i kondicioniranje senzora.³

Uređaji djeluju na principu obilježavanja koncentracije analita, receptor prihvaća analit i reagira s njime, dolazi do fizikalnih promjena koje prijenosnik obilježava i prijenosi u obliku signala do uređaja koji obrađuje signal (uklanja šumove), te na kraju signal dolazi do računala (ili drugog uređaja) koji nam omogućava dobivanje i obradu zabilježenih podataka. Kao potenciometrijske senzore uvijek upotrebljavamo indikatorske (radne) elektrode.

1.2.1. INDIKATORSKE ELEKTRODE

Idealna indikatorska elektroda daje brz i reproducibilan odziv na promjene koncentracije iona (ili skupine iona) analita, no ne postoji idealna indikatorska elektroda koja je potpuno selektivna.⁴ Primjer indikatorske elektrode je metal M uronjen u otopinu vlastitih iona M^{n+} . Potencijal indikatorske elektrode se mjeri u odnosu na referentnu elektrodu. Voltmetar očitava potencijal članka.

Postoje dvije vrste elektroda:

- Kovinske elektrode
- Selektivne (membranske) elektrode

Kod kovinskih elektroda razlika potencijala na dodirnoj granici elektroda – otopina posljedica je redoks reakcije na elektrodi. Kod membranskih elektroda potencijal proizlazi iz promjene slobodne entalpije reakcije prijelaza iona ionskom izmjenom, adsorpcijom, ekstrakcijom ili drugim načinom, kroz međusloj membrana-ispitivana otopina.⁵

1.2.2. KOVINSKE ELEKTRODE

Kovinske elektrode izrađene su od različitih metala: titan, bakar, srebro, grafit itd.

Razlika potencijala stvara se na dodirnoj površini elektroda - otopina zbog elektrokemijske reakcije na površini ispitivane elektrode. Kovinske elektrode dijelimo na:

- Elektrode I. reda
- Elektrode II. reda
- Elektrode III. reda
- Redoks elektrode

1.3. REFERENDNE ELEKTRODE

Karakteristike svake referentne elektrode trebale bi biti:

- Referentna elektroda mora imati poznat i stabilan potencijal
- Referentna elektroda mora biti jednostavne izvedbe
- Pri prolazu malih struja potencijal se ne smije mijenjati

Idealna referentna elektroda ima poznati potencijal, koji je u potpunosti ne ovisan o analitu u otopini.

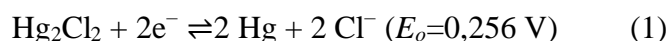
Potencijal vrijednosti E^0 je izmjeren u elektrokemijskoj ćeliji za čiju je referencu korištena standardna vodikova elektroda (SVE). Standardna vodikova elektroda (SVE) sastavljena je od inertne krute tvari koja apsorbira plinoviti vodik, uronjena u otopinu vodikovih iona pri jediničnoj aktivnosti.

Najčešće korištene referentne elektrode su kalomelova elektroda i srebro/srebrov klorid elektroda.⁶

1.3.1. KALMELOVA ELEKTRODA

Kalomel je trivijalno ime za spoj živin(I) klorid.

Ovisi o reakciji:

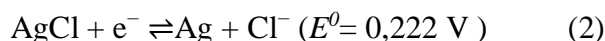


U praksi često koristimo zasićenu kalomelovu elektrodu, čija je elektrolitna otopina zasićena otopina KCl-a. Potencijal zasićene kalomelove elektrode kod 25 °C iznosi + 0,242 V u odnosu na standardnu vodikovu elektrodu.

Glavna prednost kalomelove elektrode jest jednostavna izvedba, dok je glavni nedostatak to što ima nešto veći temperaturni koeficijent, što je potrebno uzeti u obzir ako tijekom mjerenja dolazi do većih promjena temperature.

1.3.2. SREBRO/SREBROV KLORID ELEKTRODA

Rad ovakve elektrode temelji se na redukciji srebrova klorida (AgCl) do srebra (Ag).



Elektroda srebro/srebrov klorid sačinjena je od srebrove žice presvučene tankim filmom AgCl-a. Sama žica uronjena je u otopinu KCl-a i zasićena s AgCl-om.

Glavne prednosti srebro/srebrove elektrode su: relativno jednostavna izvedba, neotrovnost, niska cijena i stabilnost.

1.4. IONSKO-SELEKTIVNE ELEKTRODE

Ionsko selektivne elektrode su potenciometrijski osjetilne naprave koje detektiraju aktivitet (koncentraciju) promatranog iona ili molekule prisutne u otopini. Neke ionsko–selektivne elektrode su u čvrstom stanju poput olova i kadmija, selenita, i hidroksidnih elektroda, neke od njih su napravljene koristeći PVC ili silikonske gumene membranepopust halida, selenita, željezov(III) iona, iona joda i glukoznih elektroda.⁷Razlika potencijala uvjetovana je aktivitetima prisutne ionske vrste u otopini koje su odijeljene membranom. Na svakoj strani uspostavlja se razlika potencijala:

$$E = konst. + \frac{RT}{z_i F} \ln a_i^{II} \quad (3)$$

Prikazana reakcija se može isključivo primijeniti kod ionsko-selektivnih elektroda kod kojih se u unutarnjoj otopini aktivitet ionske vrste drži kontinuirano konstantnim. Potencijal unutarnje otopine sensorira se s pomoću unutarnje referentne elektrode, dok se potencijal vanjske otopine sensorira pomoću vanjske referentne elektrode. Izmjerena razlika potencijala razlika koja se događa zbog prisutnosti difuzijskoga potencijala (razlika koncentracija i brzine prolaska iona kroz membranu) je potencijal koji iskazuje gornja jednadžba, a ovisna je samo o aktivitetu aktivne vrste u otopini analita.

Nakon određenog vremena dolazi do ustaljenja potencijala, ista količina analita kontinuirano prelazi kroz membranu tzv. Donnanov potencijal.

1.4.1. VRSTE IONSKO-SELEKTIVNIH ELEKTRODA

Ovisno o izvedbi ionsko-selektivne elektrode IUPAC preporuča podjelu elektroda na kristalne i nekristalne elektrode.⁸

1. Elektrode s kristalnom membranom dijele se na:

- homogene membrane
- heterogene membrane

2. Elektrode s nekristalnom membranom dijele se na:

- elektrode sa staklenom membranom
- elektrode s mobilnim prenosiocem⁹

3. Specijalne ionsko-selektivne elektrode možemo podijeliti na:

- elektrode za plinove
- enzimske elektrode

1.4.2. MEMBRANSKE ELEKTRODE

Membranske elektrode dobiveni njihovom primjenom najčešće prikazuju se kao p-funkcije poput pH, pCa i druge. Membrane koje se rabe za izradu takvih elektroda dijele se na:⁴

- Kristalične
- Nekristalične (staklo, tekuću i nepokretnu ili imobiliziranu tekućinu)

Membrana koja služi za izradu elektrode ima određenu debljinu i ako se postavi između dva elektrolita doći će do zamjene iona na objema stranama membrane, te kao posljedica se stvara razlika potencijala na jednoj i drugoj strani. U materijalu same membrane dodaju se pokretljivi nosioci električnog naboja za prijenos elektrona kroz membranu.⁵

1.4.3. ELEKTRODE S KRISTALNOM MEMBRANOM

Elektrode s kristalnom membranom su elektrode koje sadrže teško topljive soli kao aktivnu komponentu. Potencijal kristalnih membranskih elektroda posljedica je stanja ravnotežne reakcije zamjene iona u otopini i u čvrstoj fazi membrane. Ove elektrode su selektivne na ione sadržane u membrani.⁹

1.4.4. HOMOGENE I HETEROGENE MEMBRANE

Homogene membrane su izgrađene od dvaju (rijetko više) kristalnih tvari.

Heterogene membrane sastoje se od sitnih koloidnih čestica ugrađenih u elektrokemijski inaktivnom nosivom materijalu.

Selektivne elektrode s heterogenom membranom rabe se za određivanje iona poput: Ag^+ , Cl^- , Br^- , I^- itd.

Heterogene membrane su mehanički osjetljivije. te zahtijevaju pažljiviji rad.

1.4.5. ELEKTRODE S NEKRISTALNOM MEMBRANOM

Elektrode s nekrystalnom membranom dijele se na: staklene elektrode i elektrode s mobilnim prijenosnikom. Inaktivni nosač može bit porozan (npr. mikroporozni filter) ili neporozan (npr. staklo).⁹

1.4.6. ELEKTRODE SA STAKLENOM MEMBRANOM

Danas se staklena elektrona najčešće rabi za mjerenje aktiviteta vodikovih iona, a rjeđe za mjerenje drugih jednovalentnih kationa.

Kao unutrašnja elektroda se najčešće upotrebljava Ag/AgCl elektroda, a rjeđe Thalamid elektroda.

1.4.7. ELEKTRODE S MOBILNIM PRENOSIOCEM

Ove elektrode nazivaju se i elektrode s tekućom membranom, a možemo ih svrstati u tri skupine:

- Membrane koje sadrže pozitivno nabijeni mobilni prenosioč (npr. kvartemu amonijevu sol) kao aktivnu tvar membrane, otopljen u prikladnom otapalu, a osjetljive su na promjenu aktiviteta aniona.
- Membrane koje sadrže negativno nabijem mobilni prenosioč (npr. tetra-pklorfenilborat) otopljen u prikladnom organskom otapalu kao aktivnu komponentu membrane, a osjetljive su na promjenu aktiviteta kationa.
- Membrane koje sadrže ne nabijeni mobilni prenosilac otopljen u prikladnom otapalu kao aktivnu komponentu membrane (npr. antibiotik Valinomycin u eteru koji gradi kompleks s K^+ ionima ili visoko selektivni liganid za Ca^{2+} ione otopljen u nitrofenil-oktil eteru). Ovakve membrane osjetljive su na promjenu aktiviteta kationa.¹

1.4.8. PLINSKE ELEKTRODE

Difuzne plinske elektrode su elektrode s povezanošću plinovitog, tekućeg i krutog sučelja i električnog provodnog katalizatora koji podržava i ubrzava reakciju između plinovite i tekuće faze.

1.4.9. ENZIMSKE ELEKTRODE (BIOSENZORI)

Biosenzori su analitički uređaji koji omogućuju pretvorbu biološkog signala u koristan električni signal. Sastoje se od detektora bioloških elemenata i sonde. Najčešće se koriste u prehrambenoj industriji i medicini.

1.5. FLUORID IONSKO-SELEKTIVNA ELEKTRODA

Fluorid ionsko-selektivna elektroda (FISE) spada u grupu elektroda s membranom u čvrstom stanju, koje se razlikuju u načinu provođenja struje kroz membranu i strukturi membranske faze.⁹

Osnovna karakteristika FISE je da su aktivni centri ionske izmjene smješteni unutar membrane i da ne pokazuju pokretljivost. Potencijal fluoridne elektrode kod temperature eksperimentalnog rada (25 °C) dat je Nernstovim izrazom:¹⁰

$$E = E^{\circ} - 59.16 \times \log[F^-] \quad (4)$$

Iz izraza je vidljivo da potencijal elektrode slijedi aktivitet slobodnih F⁻ iona u otopini. U određenom pH području nastaje slaba fluorovodična kiselina koja je u ravnoteži sa svojim ionima prema relaciji:



Ravnotežu možemo izraziti preko konstante disocijacije kiseline:

$$K_k = (a_{\text{H}^+} \times a_{\text{F}^-}) / a_{\text{HF}} \quad (6)$$

1.5.1. PRIMJENA FISE U PRAKTIČNIM ANALIZAMA

U praktičnom radu FISE ima mnogostruku primjenu:

- Određivanje iona F⁻ u anorganskim tvarima poput dimećoj HNO₃, metalnim oksidima, fosfatima, minerala i stijenkama,
- Određivanje iona F⁻ u organskim tvarima ili spojevima,
- Određivanje iona F⁻ u okolišu: zraku, vodi za piće, otpadnim vodama i morskoj vodi,

- Određivanje iona F^- u biologiji, medicini i industriji prerade i proizvodnje hrane u različitim uzorcima kao što su: kosti, zubi, urin, biljke, pića...¹¹

1.5.2. VRIJEME ŽIVOTA FISE

Elektroda tijekom vremena gubi učinkovitost, elektrodni odziv postaje slabiji, elektroda potpuno gubi svoja svojstva te postaje neprikladna za daljnju uporabu. Vrijeme u kojem se primjećuje promjena u odzivu događa se od jednog do šest mjeseci nakon kupnje elektrode. Odziv se može gubiti zbog ishlapljivanja unutarnjega elektrolita ili njegovog iscjedivanja. Nakon obnove elektrolita odziv se vraća na očekivani teorijski odziv.

1.5.3. GRANICA DETEKCIJE FLUORID IONSKO-SELEKTIVNE

ELEKTRODE

Granica detekcije se može definirati kao koncentracija kod koje, pri određenim uvjetima, elektroda više ne može pratiti promjenu potencijala. Donja granica detekcije za FISE je oko 10^{-6} mol L^{-1} . Često se pretpostavlja da je granica detekcije fluorida pod utjecajem otapanja LaF_3 .

1.6. PREGLED NOVIJE LITERATURE

Neki autori pripravili su novi fluorid–selektivni senzor temeljenu na kombinaciji jedinstvenih osobina grafenovog oksida s anionskom selektivnošću metaloporfirina. Elektroda je pripravljena iz smjese od 27% poli(vini-klorid)-a, 54% 1-(2-nitrofenoksi)oktan-a, 4% natrijum tetrafenilborat-a i 15 % niobijev(V)5-4(aminofenil)-10,15,20-triferilprofirin-grafen oksid-a. Senzor pokazuje Nerstov odziv (58.3 mV po dekadi) u području koncentracije od $5,0 \times 10^{-1}$ do $5,0 \times 10^{-7}$ mol L^{-1} s granicom detekcije od $8,0 \times 10^{-8}$ mol L^{-1} . Odziv senzora stabilan je u pH području od 3,0 do 7,0 , također senzor temeljen na NbTPP-GO-a pokazuju dobru selektivnost prema velikom broju aniona. Vrijeme života pripravljenog senzora je dugo (više od 12 tjedana), a vrijeme odziva je oko 20 s.¹¹

Razvijena je nova fluorid selektivna elektroda pripravljena od 70% Ag_2S , 10% Cu_2S i 20% CaF_2 . Linearna promjena potencijala je u području koncentracije od 1×10^{-6} do 1×10^{-1} mol L^{-1} fluoridnog iona. Promjena potencijal po koncentracijskoj dekadi fluorida za ovaj senzor iznosila je 26 ± 2 mV. Nađeno je da promjena pH vrijednosti u području od 1 do 8 nema

utjecaja na promjenu potencijala elektrode. Nije zabilježena interferencija kationa kao što su K^+ , Na^+ , Ca^{2+} , Mg^{2+} te aniona Cl^- , NO_3^- , SO_4^{2-} i PO_4^{3-} . Životni vijek elektrode je više od 2 godine kada se koristi bar 4 do 5 puta dnevno, a vrijeme odziva je oko 60 s. Mjerenja su izvedena pri konstantnoj ionskoj jakosti ($0,1 \text{ mol L}^{-1} \text{ NaNO}_3$) i na sobnoj temperaturi. Elektroda je korištena za određivanje fluoridnog iona u gradskoj vodi Ankare i u bocama izvorske vode primjenom standardne metode dodavanja.¹²

Bis (2-metilbenzaldehyd) butan-2,3-dihidrazon (TDSB) je korišten kao nova N-N Schiffova baza koja ima ulogu izvrsnog ionskog nosača u pripravi senzora za La(III) membrane. Najbolje odzivne karakteristike dobivene su s membranom koja sadrži 30% poli (vinil klorid), 60% benzil acetat, 6% TDSB i 4% natrijev tetrafenilborat. Ovaj senzor pokazuje vrlo dobru selektivnost prema ionima La(III) te drugih kationa, uključujući alkalne, zemnoalkalne, prijelazne i teške metalne ione. Predložena elektroda pokazuje Nernstovsko ponašanje (s nagibom od 19,8 mV po dekadi) u širokom rasponu koncentracija ($1,0 \times 10^{-5}$ - $1,0 \times 10^{-1}$ M). Granica detekcije senzora je $7,0 \times 10^{-6}$ M. senzor ima vrlo kratko vrijeme odziva, u cijelom rasponu koncentracija (~ 5 s), a može se koristiti najmanje dvanaest tjedana u području pH od 3,0 do 9,4. Predloženi senzor uspješno je primijenjen kao indikatorska elektroda za potencimetrijsku titraciju La(III), s EDTA. Također je uspješno primijenjena u određivanju fluoridnih iona u tri preparata za ispiranje usta.¹³

2.METODIKA

2. METODIKA

Eksperimentalnog rada korištene su slijedeće kemikalije p.a. čistoće:

Natrijev fluorid, (NaF), Kemika, Zagreb

Kalijev nitrat, (KNO₃), Kemika, Zagreb, čistoća: 99%

Octena kiselina (CH₃COOH), T.T.T., Sveta Nedjelja. Čistoća: 99.5%

Natrijev acetat, (CH₃COONa), GRAM.MOL, Zagreb. Čistoća: 98.5%

Voda korištena za pripravu otopina bila je dva puta destilirana.

2.1. PRIPRAVA OTOPINA

2.1.1. OTOPINA KALIJEVA NITRATA

Za pripravu otopine 2000 mL kalijeva nitrata, $c(\text{KNO}_3) = 0,10 \text{ mol L}^{-1}$ potrebno je izvagati na analitičkoj vagi 20,22 g krutog kalijeva nitrata, prenijeti ga u odmjernu tikvicu, otopiti i nadopuniti dva puta destiliranom vodom do oznake.

2.1.2. OSNOVNA OTOPINA NATRIJEVA FLUORIDA ($c=0,1000 \text{ mol L}^{-1}$)

Osnovna otopina natrijeva fluorida pripravljena je vaganjem potrebne količine soli i otapanjem u potrebnom volumenu dodatkom destilirane vode, tako da je konačna koncentracija otopine bila, $c(\text{NaF}) = 0,1000 \text{ mol L}^{-1}$. Prethodno se NaF suši 1,5 - 2 sata na temperaturi od 110 °C u sušioniku, nakon sušenja ohladi se u eksikatoru. Sve pripravljene otopine fluorida čuvale su se u polietilenskim bocama. Otopine nižih koncentracija od ove pripremale su se njenim razrjeđenjem samo s destiliranom vodom ili dodatkom acetatnog pufera, karbonata ili drugih kemikalija za provedbu određenih mjerenja.

2.1.3. PRIPRAVA ACETATNOG PUFERA pH = 4,7

Za pripravu acetatnog pufera pH = 4,70 potrebno je pomiješati 400 mL octene kiseline (0,10 mol L⁻¹) s 100 mL natrijevog acetata (0,10 mol L⁻¹), pH je potrebno podešavati dodatkom HAc ili NaAc dok se ne postigne pH = 4,70.

2.1.4. OTOPINA ZA RAZRJEĐENJE

U odmjernu tikvicu od 1000,0 mL doda se 100,0 mL acetatnog pufera pH=4,70, te razrijedi otopinom kalijevog nitrata, $c(\text{KNO}_3)= 0,10 \text{ mol L}^{-1}$, do oznake volumena.

2.2. MJERNI UREĐAJI I PRIBOR

Za ispitivanja provedena u ovom završnom radu korišteni su sljedeći mjerni uređaji i pribor:

1. Selective Electode (FISE), SIN, 623008, METTLER, Tolendo SAD pH/mV metar, Mettler, Tolendo
2. Analitička vaga, METTLER, AT 261, (točnost 0,00001 g), Švicarska
3. Tehnička vaga, kern, 440-45 N, (preciznost 0,1 g), Njemačka
4. Sušionik, Elektrosanitarija, Hrvatska
5. Uređaj za proizvodnju destilirane vode, Milipure Simplicity
6. Magnetska miješalica, ŽELEZNIK, MN S10, Slovenija

3.RAZULTATI MJERENJA

3. REZULTATI MJERENJA

3.1. TESTIRANJE ODZIVA FLUORID IONSKO-SELEKTIVNE

ELEKTRODE

Membrane LaF_3 s udjelom Eu od 0.3 % i debljine $8 \times 1,5$ umetnuta je u tijelo elektrode izrađeno u laboratoriju, unutarnji kontakt je elektrolitni, a kao unutarnja elektroda korištena je kalomelova elektroda. Ispitivan je odziv pripremljene elektrode testirane prema fluoridnim ionima metodom slijednog razrjeđenja. Testiranje je vršeno otopinom za razrjeđenje koja je po sastavu bila kalijev nitrat, $c(\text{KNO}_3) = 0,10 \text{ mol L}^{-1}$ uz odgovarajući pufer. Koncentracijsko područje testiranja bilo je u granicama od $c(\text{F}^-) = 10^{-1}$ do $10^{-6} \text{ mol L}^{-1}$. Tijekom mjerenja temperatura i miješanje otopina održavani su konstantnim. Potencijal je praćen tijekom deset minuta.

Podatci mjerenja prikazani su u sljedećim tablicama, a baždareni pravci prikazani su na sljedećim slikama.

Tablica 4.1.1. Promjena potencijala s promjenom koncentracije F^- za membranu $\text{LaF}_3(\text{Eu } 0,3\%)$, debljine $8 \times 1,5 \text{ mm}$ i preko noći ostavljena u otopini fluoridnih iona $c(\text{F}^-) = 10^{-3} \text{ mol L}^{-1}$

1

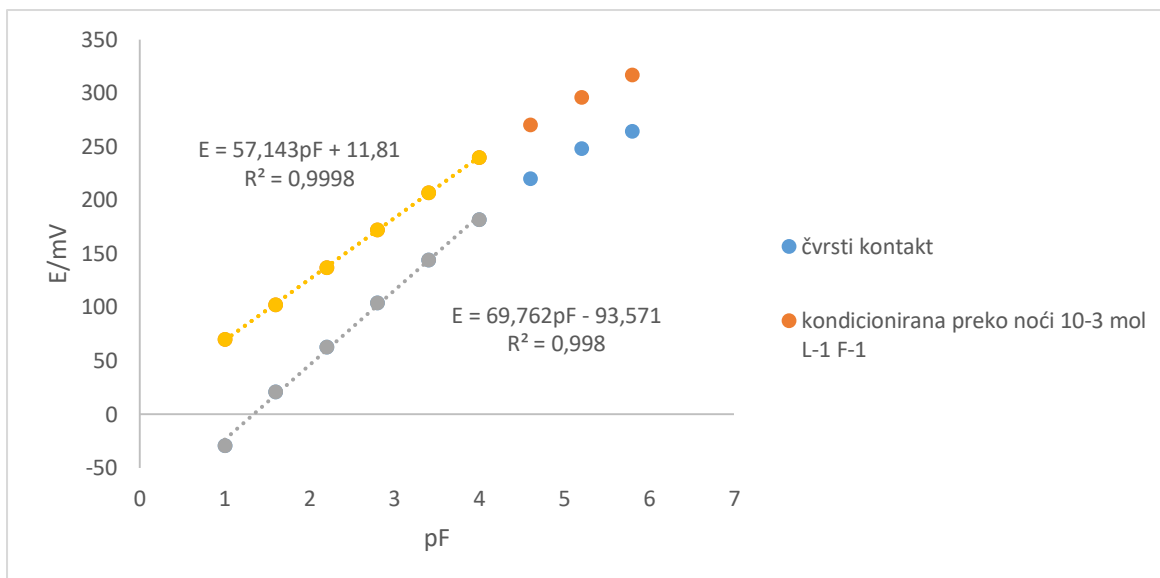
| V (otopine za razrjeđenje) | I <i>E/mV</i> | II <i>E/mV</i> | c_{F^-} mol/ L^{-1} | pF |
|----------------------------|------------------|-------------------|--|-----|
| 50 | -29 | 70 | 0.1 | 1 |
| ±40 | 21 | 102 | $2,5 \times 10^{-2}$ | 1,6 |
| ±40 | 63 | 137 | $6,25 \times 10^{-3}$ | 2,2 |
| ±40 | 104 | 172 | $1,50 \times 10^{-3}$ | 2,8 |
| ±40 | 144 | 207 | $3,91 \times 10^{-4}$ | 3,4 |
| ±40 | 182 | 240 | $9,77 \times 10^{-5}$ | 4,0 |
| ±40 | 220 | 270 | $2,44 \times 10^{-5}$ | 4,6 |
| ±40 | 248 | 296 | $6,10 \times 10^{-6}$ | 5,2 |
| ±40 | 264 | 317 | $1,53 \times 10^{-6}$ | 5,8 |
| ±40 | 270 | 320 | $3,82 \times 10^{-7}$ | 6,4 |

Tablica 4.1.2. Promjena potencijala s promjenom koncentracije F^{-1} za membranu $LaF_3(Eu\ 0,3\%)$, debljine $8 \times 1,5$ mm s unutarnjim elektrolitnim kontaktom kondicionirana

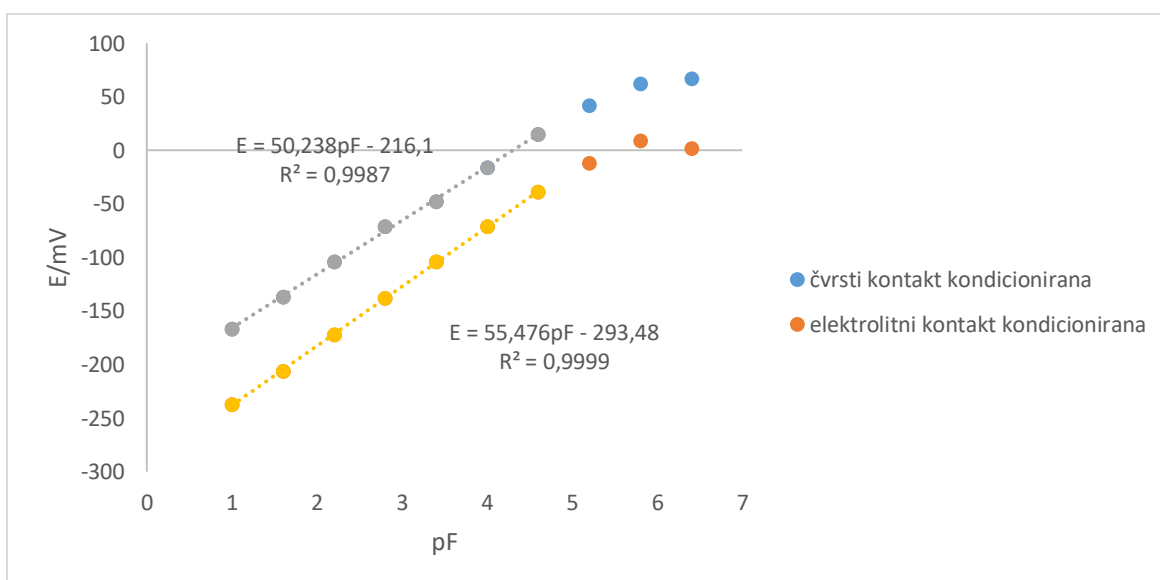
| V (otopine za razrjeđenje) | I <i>E/mV</i> | II <i>E/mV</i> | $c_{F^{-}}$ $mol\ L^{-1}$ | pF |
|----------------------------|------------------|-------------------|------------------------------|-----|
| 50 | -167 | -237 | 0.1 | 1 |
| ±40 | -137 | -206 | $2,5 \times 10^{-2}$ | 1,6 |
| ±40 | -104 | -172 | $6,25 \times 10^{-3}$ | 2,2 |
| ±40 | -71 | -138 | $1,50 \times 10^{-3}$ | 2,8 |
| ±40 | -48 | -104 | $3,91 \times 10^{-4}$ | 3,4 |
| ±40 | -16 | -71 | $9,77 \times 10^{-5}$ | 4,0 |
| ±40 | 15 | -39 | $2,44 \times 10^{-5}$ | 4,6 |
| ±40 | 42 | -12 | $6,10 \times 10^{-6}$ | 5,2 |
| ±40 | 62 | 9 | $1,53 \times 10^{-6}$ | 5,8 |
| ±40 | 67 | 2 | $3,82 \times 10^{-7}$ | 6,4 |

Tablica 4.1.3. Promjena potencijala s promjenom koncentracije F^{-1} za membranu $LaF_3(Eu\ 0,3\%)$, debljine $8 \times 1,5$ mm s nanočesticama, unutarnjim čvrstim kontaktom kondicionirana tijekom jednog, dva i tri dana

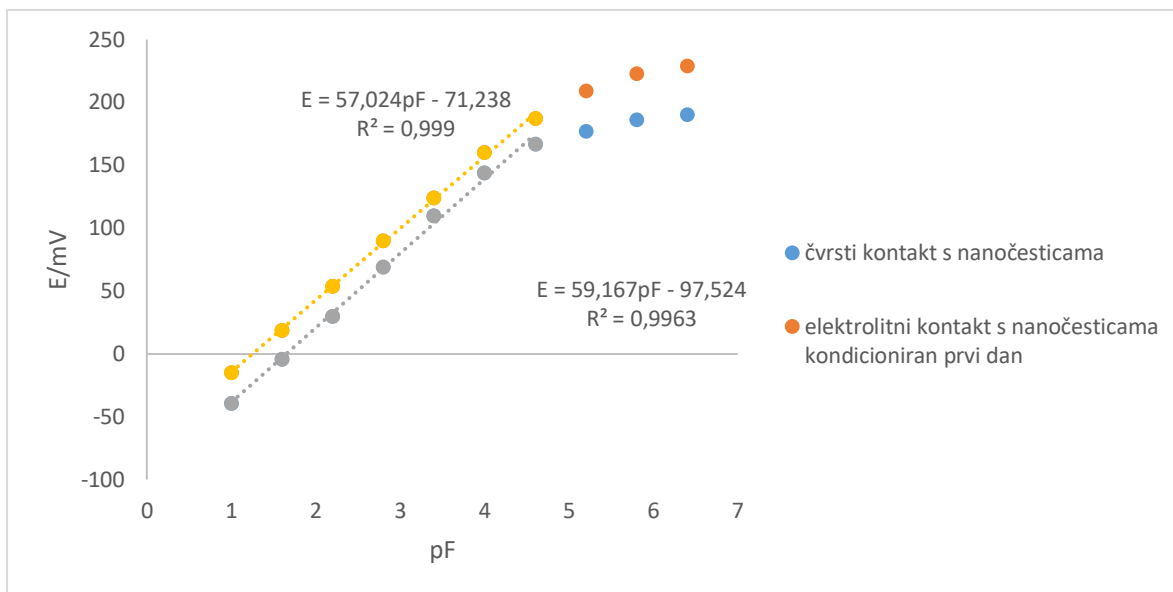
| V (otopine za razrjeđenje) | I <i>E/mV</i> | II <i>E/mV</i> | III <i>E/mV</i> | IV <i>E/mV</i> | $c_{F^{-}}$ mol/ L^{-1} | pF |
|----------------------------|------------------|-------------------|--------------------|-------------------|------------------------------|-----|
| 50 | -39 | -15 | -269 | -264 | 0,1 | 1 |
| ±40 | -4 | 19 | -241 | -204 | $2,50 \times 10^{-2}$ | 1,6 |
| ±40 | 30 | 54 | -211 | -177 | $6,25 \times 10^{-3}$ | 2,2 |
| ±40 | 69 | 90 | -179 | -142 | $1,50 \times 10^{-3}$ | 2,8 |
| ±40 | 110 | 124 | -150 | -137 | $3,91 \times 10^{-4}$ | 3,4 |
| ±40 | 144 | 160 | -115 | -128 | $9,77 \times 10^{-5}$ | 4,0 |
| ±40 | 167 | 187 | -103 | -125 | $2,44 \times 10^{-5}$ | 4,6 |
| ±40 | 177 | 209 | -100 | -127 | $6,10 \times 10^{-6}$ | 5,2 |
| ±40 | 186 | 223 | -101 | -120 | $1,53 \times 10^{-6}$ | 5,8 |
| ±40 | 190 | 229 | -100 | -121 | $3,82 \times 10^{-7}$ | 6,4 |



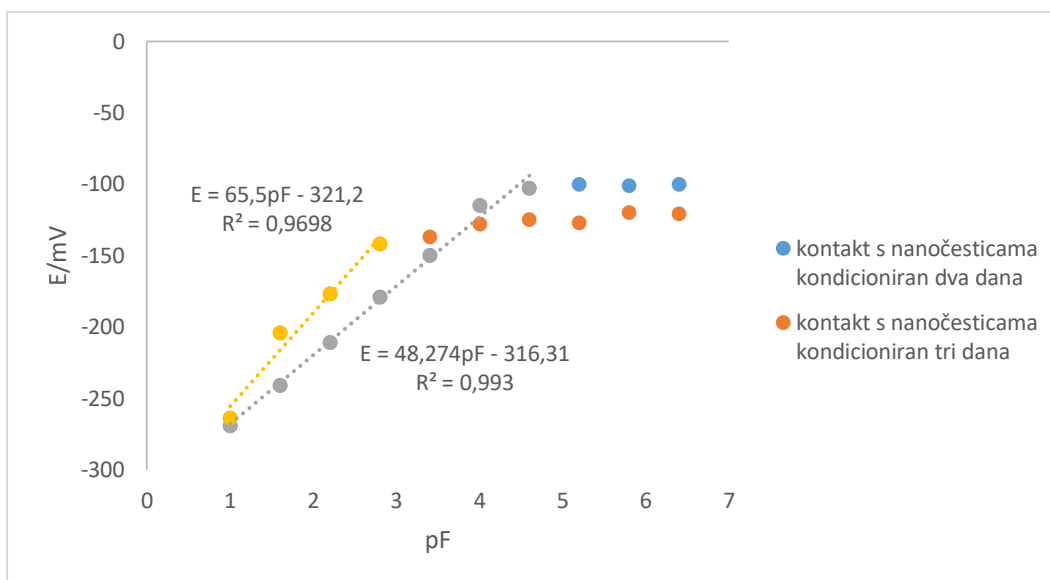
Slika 4.1.1. Promjena potencijala s promjenom koncentracije F^- za membranu $LaF_3(Eu\ 0,3\%)$, debljine $8 \times 1,5$, pri $pH=4,7$.



Slika 4.1.2. Promjena potencijala s promjenom koncentracije F^- za membranu $LaF_3(Eu\ 0,3\%)$, debljine $8 \times 1,5$, pri $pH=4,7$.



Slika 4.1.3. Promjena potencijala s promjenom koncentracije F^- za membranu $LaF_3(Eu 0,3\%)$, debljine $8 \times 1,5$, pri $pH=4,7$.



Slika 4.1.4. Promjena potencijala s promjenom koncentracije F^- za membranu $LaF_3(Eu 0,3\%)$, debljine $8 \times 1,5$, pri $pH=4,7$.

3.2. PROMJENA POTENCIJALA FISE S VREMENOM

Praćena je promjena potencijala u ovisnosti o vremenu za pripravljenu elektrodu. Mjerenje je vršeno na način da se u elektrokemijsku ćeliju doda natrijev fluorid koncentracije 10^{-5} mol L⁻¹ te se prati promjena potencijala 10 minuta, nakon čega se otopina iz ćelije zamjeni s otopinom u kojoj je koncentracija F⁻ bila 10^{-4} mol L⁻¹ te se postupak ponavlja za koncentracije do koncentracije fluorida 10^{-1} mol L⁻¹.

Rezultati mjerenja su prikazani na sljedećim grafovima i tablicama.

Tablica 4.3.1. Rezultati promjene potencijala s vremenom za membranu LaF₃(Eu 0,3%) veličine 8x1,5 mm

| LaF ₃ (Eu 0,3%) 8x1,5 | $c(\text{NaF})=10^{-5}$ mol L ⁻¹ | $c(\text{NaF})=10^{-4}$ mol L ⁻¹ | $c(\text{NaF})=10^{-3}$ mol L ⁻¹ | $c(\text{NaF})=10^{-2}$ mol L ⁻¹ | $c(\text{NaF})=10^{-1}$ mol L ⁻¹ |
|-------------------------------------|--|--|--|--|--|
| <i>t</i> (sekunde) | <i>E</i> /mV | <i>E</i> /mV | <i>E</i> /mV | <i>E</i> /mV | <i>E</i> /mV |
| 0 | 263 | 257 | 208 | 143 | 78 |
| 10 | 263 | 254 | 208 | 144 | 78 |
| 20 | 263 | 251 | 201 | 144 | 75 |
| 30 | 263 | 249 | 200 | 144 | 76 |
| 40 | 263 | 249 | 200 | 143 | 77 |
| 50 | 263 | 249 | 200 | 143 | 77 |
| 60 | 264 | 250 | 200 | 144 | 77 |
| 70 | 263 | 250 | 200 | 144 | 78 |
| 80 | 264 | 250 | 200 | 144 | 78 |
| 90 | 265 | 250 | 200 | 144 | 79 |
| 100 | 266 | 250 | 200 | 144 | 79 |
| 110 | 267 | 250 | 200 | 144 | 80 |
| 120 | 267 | 251 | 200 | 144 | 81 |
| 130 | 267 | 251 | 200 | 144 | 81 |
| 140 | 268 | 251 | 200 | 143 | 82 |
| 150 | 269 | 252 | 200 | 144 | 82 |
| 160 | 269 | 252 | 200 | 144 | 82 |
| 170 | 270 | 252 | 200 | 144 | 83 |
| 180 | 271 | 252 | 200 | 144 | 83 |
| 190 | 271 | 252 | 200 | 144 | 84 |
| 200 | 272 | 252 | 200 | 143 | 84 |
| 210 | 273 | 253 | 201 | 144 | 84 |
| 220 | 273 | 252 | 201 | 143 | 84 |
| 230 | 274 | 252 | 200 | 143 | 84 |
| 240 | 275 | 252 | 200 | 144 | 85 |
| 250 | 275 | 253 | 201 | 144 | 84 |
| 260 | 275 | 253 | 200 | 144 | 84 |
| 270 | 276 | 253 | 200 | 144 | 84 |
| 280 | 277 | 252 | 201 | 144 | 84 |
| 290 | 277 | 252 | 200 | 144 | 84 |
| 300 | 277 | 252 | 200 | 144 | 84 |

Tablica 4.3.2. Rezultati promjene potencijala s vremenom za membranu LaF₃(Eu 0,3%) veličine 8x1,5 mm kondicionirane preko noći u $c(F^{-1})=10^{-3}$

| LaF ₃ (Eu 0,3%) 8x1,5 kondicionirane preko noći u $c(F^{-1})=10^{-3}$ | $c(NaF)=10^{-5}$ mol L ⁻¹ | $c(NaF)=10^{-4}$ mol L ⁻¹ | $c(NaF)=10^{-3}$ mol L ⁻¹ | $c(NaF)=10^{-2}$ mol L ⁻¹ | $c(NaF)=10^{-1}$ mol L ⁻¹ |
|--|---|---|---|---|---|
| <i>t</i> (sekunde) | <i>E</i> /mV | <i>E</i> /mV | <i>E</i> /mV | <i>E</i> /mV | <i>E</i> /mV |
| 0 | 242 | 245 | 217 | 157 | 91 |
| 10 | 243 | 245 | 217 | 158 | 89 |
| 20 | 243 | 245 | 216 | 158 | 90 |
| 30 | 243 | 245 | 215 | 159 | 93 |
| 40 | 244 | 246 | 215 | 159 | 93 |
| 50 | 244 | 246 | 215 | 160 | 94 |
| 60 | 245 | 246 | 216 | 161 | 95 |
| 70 | 245 | 246 | 216 | 161 | 97 |
| 80 | 245 | 247 | 216 | 162 | 97 |
| 90 | 246 | 247 | 216 | 162 | 95 |
| 100 | 246 | 247 | 216 | 162 | 100 |
| 110 | 247 | 247 | 216 | 162 | 100 |
| 120 | 247 | 247 | 216 | 162 | 99 |
| 130 | 248 | 248 | 215 | 163 | 99 |
| 140 | 248 | 248 | 216 | 163 | 100 |
| 150 | 248 | 248 | 216 | 163 | 100 |
| 160 | 248 | 248 | 216 | 163 | 98 |
| 170 | 248 | 249 | 216 | 163 | 100 |
| 180 | 248 | 249 | 216 | 163 | 100 |
| 190 | 248 | 249 | 216 | 163 | 101 |
| 200 | 248 | 249 | 216 | 163 | 101 |
| 210 | 248 | 249 | 216 | 163 | 103 |
| 220 | 248 | 249 | 216 | 163 | 102 |
| 230 | 248 | 250 | 216 | 163 | 102 |
| 240 | 248 | 250 | 216 | 163 | 104 |
| 250 | 248 | 250 | 216 | 163 | 104 |
| 260 | 248 | 250 | 216 | 163 | 104 |
| 270 | 248 | 250 | 216 | 163 | 104 |
| 280 | 248 | 250 | 216 | 163 | 104 |
| 290 | 248 | 250 | 216 | 163 | 104 |
| 300 | 248 | 250 | 216 | 163 | 104 |

Tablica 4.3.3. Rezultati promjene potencijala s vremenom za membranu LaF₃(Eu 0,3%) veličine 8x1,5 mm čvrsti kontakt kondicionirana

| LaF ₃ (Eu 0,3%) 8x1,5 čvrsti kontakt kondicionar | $c(\text{NaF})=10^{-5}$ mol L ⁻¹ | $c(\text{NaF})=10^{-4}$ mol L ⁻¹ | $c(\text{NaF})=10^{-3}$ mol L ⁻¹ | $c(\text{NaF})=10^{-2}$ mol L ⁻¹ | $c(\text{NaF})=10^{-1}$ mol L ⁻¹ |
|--|--|--|--|--|--|
| $t(\text{sekunde})$ | E/mV | E/mV | E/mV | E/mV | E/mV |
| 0 | -70 | -60 | -102 | -150 | -215 |
| 10 | -64 | -61 | -102 | -154 | -215 |
| 20 | -62 | -62 | -103 | -157 | -216 |
| 30 | -59 | -63 | -104 | -158 | -216 |
| 40 | -58 | -63 | -104 | -158 | -216 |
| 50 | -57 | -63 | -104 | -159 | -216 |
| 60 | -56 | -64 | -104 | -159 | -216 |
| 70 | -55 | -64 | -104 | -159 | -215 |
| 80 | -55 | -64 | -104 | -159 | -215 |
| 90 | -55 | -64 | -104 | -160 | -215 |
| 100 | -55 | -64 | -104 | -160 | -215 |
| 110 | -54 | -64 | -104 | -160 | -215 |
| 120 | -54 | -64 | -105 | -160 | -215 |
| 130 | -54 | -64 | -104 | -160 | -215 |
| 140 | -54 | -64 | -105 | -160 | -215 |
| 150 | -54 | -64 | -105 | -160 | -215 |
| 160 | -54 | -64 | -105 | -160 | -215 |
| 170 | -54 | -63 | -105 | -160 | -215 |
| 180 | -54 | -64 | -105 | -159 | -215 |
| 190 | -54 | -64 | -105 | -160 | -215 |
| 200 | -54 | -64 | -105 | -160 | -215 |
| 210 | -53 | -64 | -105 | -160 | -215 |
| 220 | -54 | -64 | -105 | -160 | -215 |
| 230 | -54 | -64 | -105 | -160 | -215 |
| 240 | -54 | -64 | -105 | -160 | -215 |
| 250 | -54 | -64 | -105 | -160 | -215 |
| 260 | -54 | -64 | -105 | -160 | -215 |
| 270 | -54 | -64 | -105 | -160 | -215 |
| 280 | -54 | -63 | -105 | -160 | -215 |
| 290 | -54 | -64 | -105 | -160 | -215 |
| 300 | -54 | -64 | -105 | -160 | -215 |

Tablica 4.3.4. Rezultati promjene potencijala s vremenom za membranu LaF₃(Eu 0,3%) veličine 8x1,5mm elektrolitni kontakt kondicionirana

| LaF ₃ (Eu 0,3%) 8x1,5 elektrolitni kontakt kondicionirana | $c(\text{NaF})=10^{-5}$ mol L ⁻¹ | $c(\text{NaF})=10^{-4}$ mol L ⁻¹ | $c(\text{NaF})=10^{-3}$ mol L ⁻¹ | $c(\text{NaF})=10^{-2}$ mol L ⁻¹ | $c(\text{NaF})=10^{-1}$ mol L ⁻¹ |
|--|--|--|--|--|--|
| t (sekunde) | E/mV | E/mV | E/mV | E/mV | E/mV |
| 0 | -116 | -104 | -139 | -176 | -247 |
| 10 | -105 | -107 | -140 | -189 | -248 |
| 20 | -104 | -107 | -141 | -191 | -248 |
| 30 | -103 | -107 | -141 | -193 | -249 |
| 40 | -103 | -107 | -142 | -194 | -249 |
| 50 | -102 | -108 | -142 | -194 | -249 |
| 60 | -102 | -108 | -142 | -195 | -249 |
| 70 | -102 | -108 | -142 | -195 | -250 |
| 80 | -102 | -108 | -142 | -195 | -250 |
| 90 | -102 | -108 | -142 | -195 | -250 |
| 100 | -101 | -108 | -142 | -195 | -250 |
| 110 | -101 | -108 | -142 | -195 | -250 |
| 120 | -101 | -108 | -142 | -195 | -250 |
| 130 | -101 | -108 | -142 | -195 | -250 |
| 140 | -101 | -108 | -142 | -195 | -250 |
| 150 | -101 | -108 | -142 | -195 | -250 |
| 160 | -101 | -108 | -142 | -195 | -250 |
| 170 | -101 | -108 | -142 | -195 | -250 |
| 180 | -101 | -108 | -142 | -195 | -250 |
| 190 | -101 | -108 | -142 | -195 | -250 |
| 200 | -101 | -108 | -142 | -195 | -250 |
| 210 | -101 | -108 | -142 | -195 | -250 |
| 220 | -101 | -108 | -142 | -195 | -250 |
| 230 | -101 | -108 | -142 | -195 | -250 |
| 240 | -101 | -108 | -142 | -195 | -250 |
| 250 | -101 | -108 | -142 | -195 | -250 |
| 260 | -101 | -108 | -142 | -195 | -250 |
| 270 | -101 | -108 | -142 | -195 | -250 |
| 280 | -101 | -108 | -142 | -195 | -250 |
| 290 | -101 | -108 | -142 | -195 | -250 |
| 300 | -101 | -108 | -142 | -195 | -250 |

Tablica 4.3.5. Rezultati promjene potencijala s vremenom za membranu LaF₃(Eu 0,3%) veličine 8x1,5 mm čvrsti kontakt s nanočesticama

| LaF ₃ (Eu 0,3%) 8x1,5 čvrsti kontakt s nanočesticama | $c(\text{NaF})=10^{-5}$ mol L ⁻¹ | $c(\text{NaF})=10^{-4}$ mol L ⁻¹ | $c(\text{NaF})=10^{-3}$ mol L ⁻¹ | $c(\text{NaF})=10^{-2}$ mol L ⁻¹ | $c(\text{NaF})=10^{-1}$ mol L ⁻¹ |
|--|--|--|--|--|--|
| $t(\text{sekunde})$ | E/mV | E/mV | E/mV | E/mV | E/mV |
| 0 | 48 | 79 | 57 | 11 | -64 |
| 10 | 51 | 77 | 54 | 8 | -64 |
| 20 | 56 | 77 | 52 | 6 | -63 |
| 30 | 58 | 76 | 52 | 7 | -62 |
| 40 | 60 | 76 | 52 | 7 | -61 |
| 50 | 61 | 76 | 53 | 7 | -61 |
| 60 | 63 | 77 | 53 | 7 | -60 |
| 70 | 64 | 77 | 53 | 7 | -59 |
| 80 | 65 | 77 | 53 | 7 | -59 |
| 90 | 66 | 77 | 53 | 8 | -58 |
| 100 | 67 | 77 | 54 | 8 | -58 |
| 110 | 67 | 77 | 54 | 8 | -57 |
| 120 | 68 | 77 | 54 | 8 | -57 |
| 130 | 68 | 77 | 54 | 8 | -56 |
| 140 | 69 | 77 | 54 | 8 | -56 |
| 150 | 69 | 77 | 54 | 8 | -55 |
| 160 | 70 | 77 | 55 | 9 | -55 |
| 170 | 70 | 77 | 55 | 9 | -54 |
| 180 | 71 | 77 | 55 | 9 | -54 |
| 190 | 71 | 77 | 55 | 9 | -53 |
| 200 | 72 | 77 | 55 | 9 | -53 |
| 210 | 72 | 77 | 55 | 9 | -53 |
| 220 | 72 | 77 | 55 | 10 | -52 |
| 230 | 73 | 77 | 55 | 10 | -52 |
| 240 | 73 | 77 | 56 | 10 | -52 |
| 250 | 74 | 77 | 56 | 10 | -51 |
| 260 | 74 | 77 | 57 | 10 | -51 |
| 270 | 75 | 77 | 57 | 10 | -50 |
| 280 | 75 | 77 | 56 | 11 | -50 |
| 290 | 75 | 77 | 56 | 10 | -50 |
| 300 | 75 | 77 | 56 | 10 | -50 |

Tablica 4.3.6. Rezultati promjene potencijala s vremenom za membranu LaF₃(Eu 0,3%) veličine 8x1,5 mm elektrolitni kontakt s nanočesticama prvi dan

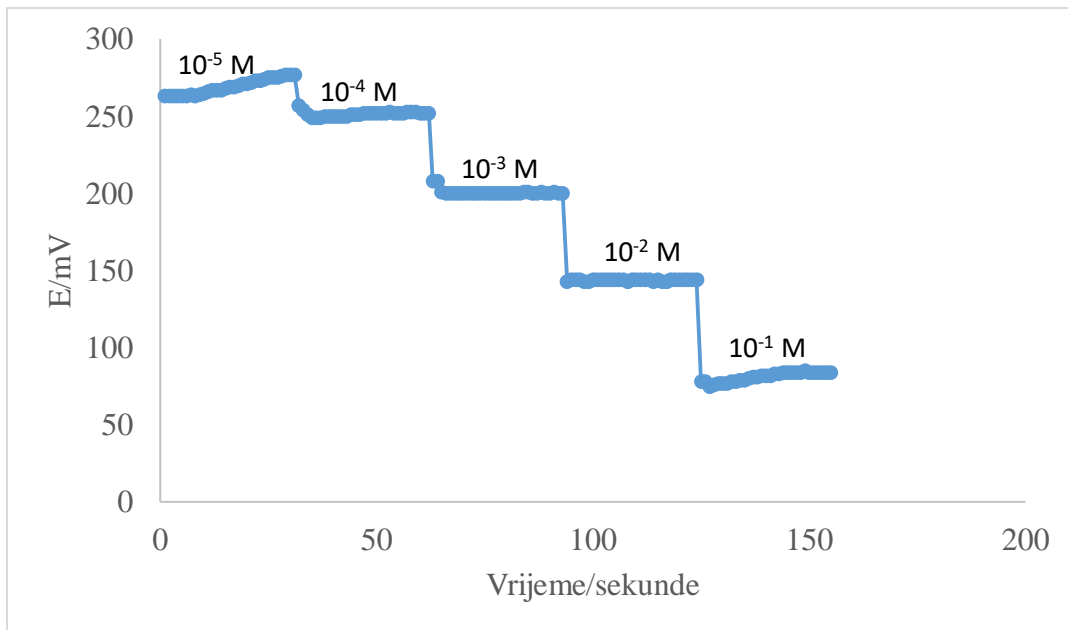
| LaF ₃ (Eu 0,3%) 8x1,5 elektrolitni kontakt s nanočesticama | $c(\text{NaF})=10^{-5}$ mol L ⁻¹ | $c(\text{NaF})=10^{-4}$ mol L ⁻¹ | $c(\text{NaF})=10^{-3}$ mol L ⁻¹ | $c(\text{NaF})=10^{-2}$ mol L ⁻¹ | $c(\text{NaF})=10^{-1}$ mol L ⁻¹ |
|---|--|--|--|--|--|
| $t(\text{sekunde})$ | E/mV | E/mV | E/mV | E/mV | E/mV |
| 0 | 188 | 170 | 112 | 67 | -17 |
| 10 | 185 | 159 | 104 | 44 | -18 |
| 20 | 183 | 156 | 103 | 45 | -18 |
| 30 | 182 | 156 | 103 | 45 | -18 |
| 40 | 180 | 156 | 104 | 46 | -17 |
| 50 | 179 | 156 | 104 | 46 | -17 |
| 60 | 179 | 156 | 103 | 46 | -17 |
| 70 | 179 | 155 | 103 | 45 | -17 |
| 80 | 179 | 155 | 103 | 45 | -17 |
| 90 | 179 | 155 | 103 | 45 | -17 |
| 100 | 179 | 155 | 103 | 45 | -17 |
| 110 | 179 | 155 | 103 | 45 | -17 |
| 120 | 179 | 155 | 103 | 45 | -17 |
| 130 | 179 | 155 | 103 | 45 | -17 |
| 140 | 179 | 155 | 103 | 45 | -17 |
| 150 | 179 | 155 | 103 | 45 | -17 |
| 160 | 179 | 155 | 103 | 45 | -17 |
| 170 | 179 | 155 | 103 | 45 | -17 |
| 180 | 179 | 155 | 103 | 45 | -17 |
| 190 | 179 | 155 | 103 | 45 | -17 |
| 200 | 179 | 155 | 103 | 45 | -17 |
| 210 | 179 | 155 | 103 | 45 | -17 |
| 220 | 179 | 155 | 103 | 45 | -17 |
| 230 | 179 | 155 | 103 | 45 | -17 |
| 240 | 179 | 155 | 103 | 45 | -17 |
| 250 | 179 | 155 | 103 | 45 | -17 |
| 260 | 179 | 155 | 103 | 45 | -17 |
| 270 | 179 | 155 | 103 | 45 | -17 |
| 280 | 179 | 155 | 103 | 45 | -17 |
| 290 | 179 | 155 | 103 | 45 | -17 |
| 300 | 179 | 155 | 103 | 45 | -17 |

Tablica 4.3.7. Rezultati promjene potencijala s vremenom za membranu LaF₃(Eu 0.3%) veličine 8x5 mm s nanočesticama kondicionirana dva dana

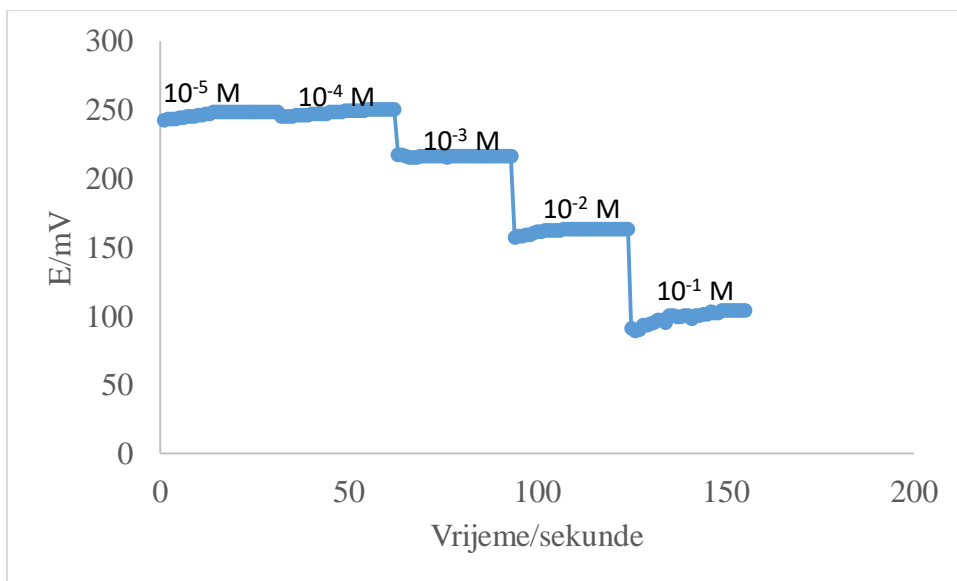
| LaF ₃ (Eu 0,3%) 8x1,5 nanočesticama kondicionirana dva dana | $c(\text{NaF})=10^{-5}$ mol L ⁻¹ | $c(\text{NaF})=10^{-4}$ mol L ⁻¹ | $c(\text{NaF})=10^{-3}$ mol L ⁻¹ | $c(\text{NaF})=10^{-2}$ mol L ⁻¹ | $c(\text{NaF})=10^{-1}$ mol L ⁻¹ |
|--|---|---|---|---|---|
| $t(\text{sekunde})$ | E/mV | E/mV | E/mV | E/mV | E/mV |
| 0 | -114 | -97 | -124 | -162 | -167 |
| 10 | -113 | -101 | -138 | -167 | -270 |
| 20 | -112 | -103 | -143 | -169 | -272 |
| 30 | -111 | -104 | -146 | -170 | -273 |
| 40 | -110 | -104 | -149 | -170 | -274 |
| 50 | -109 | -104 | -150 | -171 | -274 |
| 60 | -107 | -105 | -151 | -171 | -275 |
| 70 | -107 | -105 | -153 | -172 | -275 |
| 80 | -106 | -105 | -154 | -172 | -275 |
| 90 | -105 | -106 | -154 | -172 | -275 |
| 100 | -104 | -106 | -154 | -172 | -275 |
| 110 | -103 | -106 | -156 | -172 | -275 |
| 120 | -102 | -106 | -156 | -172 | -275 |
| 130 | -102 | -106 | -157 | -172 | -275 |
| 140 | -101 | -106 | -157 | -172 | -275 |
| 150 | -100 | -106 | -157 | -172 | -275 |
| 160 | -99 | -106 | -157 | -172 | -275 |
| 170 | -98 | -106 | -157 | -172 | -275 |
| 180 | -97 | -106 | -158 | -172 | -275 |
| 190 | -97 | -106 | -158 | -172 | -275 |
| 200 | -95 | -106 | -158 | -172 | -275 |
| 210 | -95 | -106 | -158 | -172 | -275 |
| 220 | -94 | -106 | -158 | -172 | -275 |
| 230 | -94 | -106 | -158 | -172 | -275 |
| 240 | -93 | -106 | -158 | -172 | -275 |
| 250 | -93 | -106 | -158 | -172 | -275 |
| 260 | -92 | -106 | -158 | -172 | -275 |
| 270 | -92 | -106 | -158 | -172 | -275 |
| 280 | -92 | -106 | -158 | -172 | -275 |
| 290 | -92 | -106 | -158 | -172 | -275 |
| 300 | -92 | -106 | -158 | -172 | -275 |

Tablica 4.3.8. Rezultati promjene potencijala s vremenom za membranu LaF₃(Eu 0.3%) veličine 8x1,5 mm s nanočesticama kondicionirana tri dana

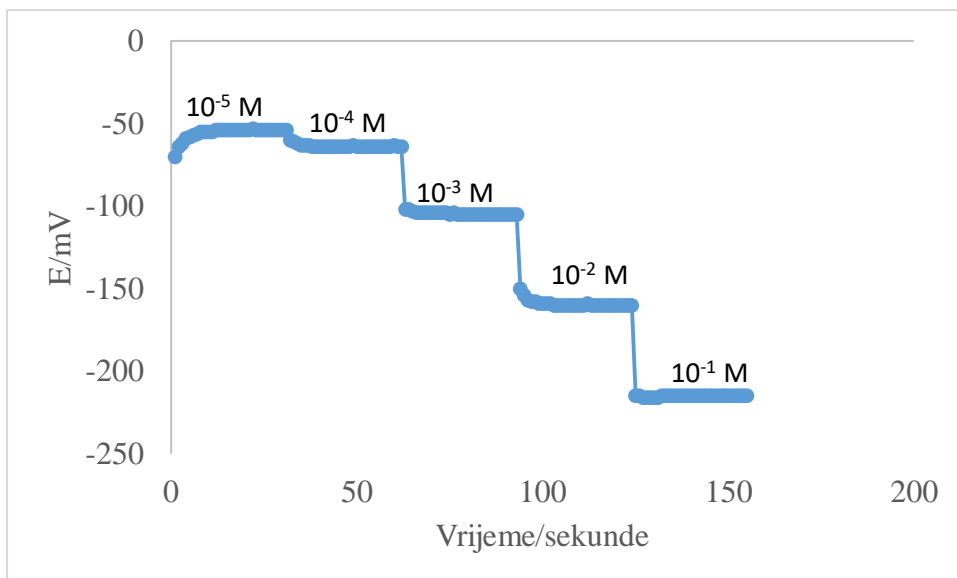
| LaF ₃ (Eu 0,3%) 8x1,5 nanočesticama kondicionirana tri dana | $c(\text{NaF})=10^{-5}$ mol L ⁻¹ | $c(\text{NaF})=10^{-4}$ mol L ⁻¹ | $c(\text{NaF})=10^{-3}$ mol L ⁻¹ | $c(\text{NaF})=10^{-2}$ mol L ⁻¹ | $c(\text{NaF})=10^{-1}$ mol L ⁻¹ |
|--|--|--|--|--|--|
| $t(\text{sekunde})$ | E/mV | E/mV | E/mV | E/mV | E/mV |
| 0 | -57 | -43 | -64 | -137 | -219 |
| 10 | -55 | -45 | -75 | -149 | -217 |
| 20 | -59 | -45 | -80 | -158 | -219 |
| 30 | -55 | -44 | -86 | -157 | -219 |
| 40 | -53 | -48 | -89 | -159 | -220 |
| 50 | -52 | -48 | -92 | -160 | -221 |
| 60 | -51 | -48 | -94 | -161 | -221 |
| 70 | -50 | -49 | -94 | -161 | -226 |
| 80 | -50 | -49 | -95 | -162 | -223 |
| 90 | -50 | -50 | -97 | -162 | -226 |
| 100 | -48 | -50 | -98 | -162 | -220 |
| 110 | -47 | -50 | -98 | -162 | -225 |
| 120 | -46 | -50 | -99 | -163 | -222 |
| 130 | -46 | -50 | -100 | -163 | -222 |
| 140 | -45 | -50 | -101 | -163 | -215 |
| 150 | -45 | -51 | -101 | -165 | -222 |
| 160 | -44 | -51 | -102 | -164 | -227 |
| 170 | -44 | -51 | -102 | -163 | -220 |
| 180 | -44 | -51 | -102 | -164 | -221 |
| 190 | -44 | -50 | -103 | -164 | -220 |
| 200 | -43 | -51 | -103 | -162 | -220 |
| 210 | -42 | -51 | -103 | -164 | -220 |
| 220 | -42 | -51 | -103 | -164 | -220 |
| 230 | -42 | -51 | -104 | -164 | -220 |
| 240 | -41 | -51 | -104 | -164 | -220 |
| 250 | -41 | -51 | -104 | -164 | -220 |
| 260 | -40 | -51 | -104 | -164 | -220 |
| 270 | -39 | -51 | -105 | -164 | -220 |
| 280 | -39 | -51 | -104 | -164 | -220 |
| 290 | -39 | -51 | -104 | -164 | -220 |
| 300 | -39 | -51 | -104 | -164 | -220 |



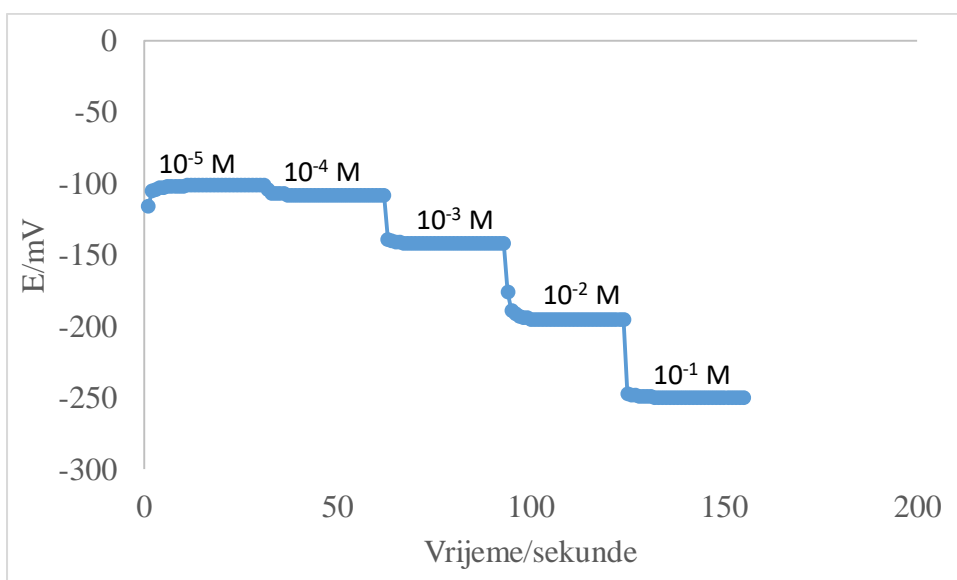
Slika 4.3.1. Promjena potencijala s vremenom za membranu $LaF_3(Eu\ 0,3\%)$ veličine $8 \times 1,5$ mm



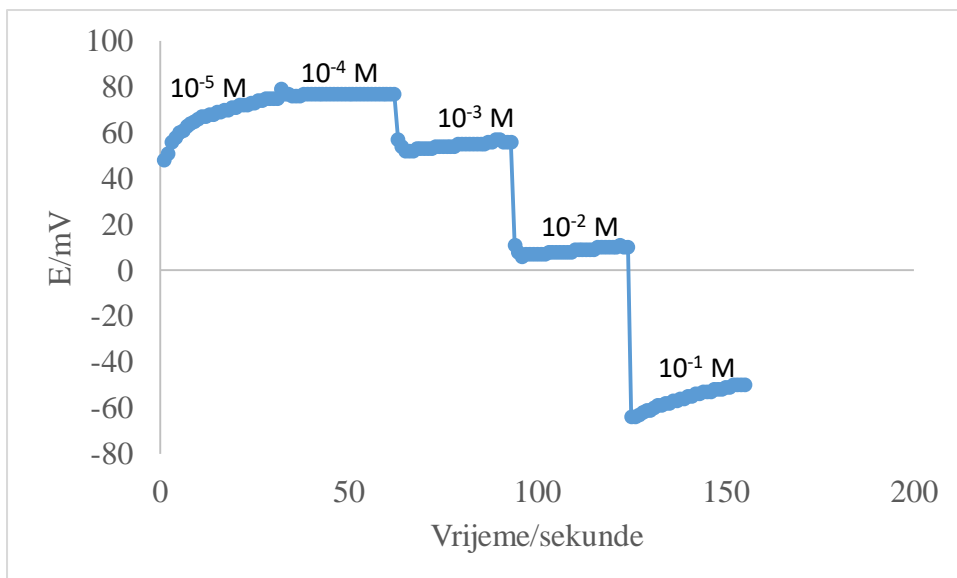
Slika 4.3.2. Promjena potencijala s vremenom za membranu $LaF_3(Eu\ 0,3\%)$ veličine $8 \times 1,5$ mm kondicionirana preko noći u $c(F^{-1})=10^{-3} mol\ L^{-1}$



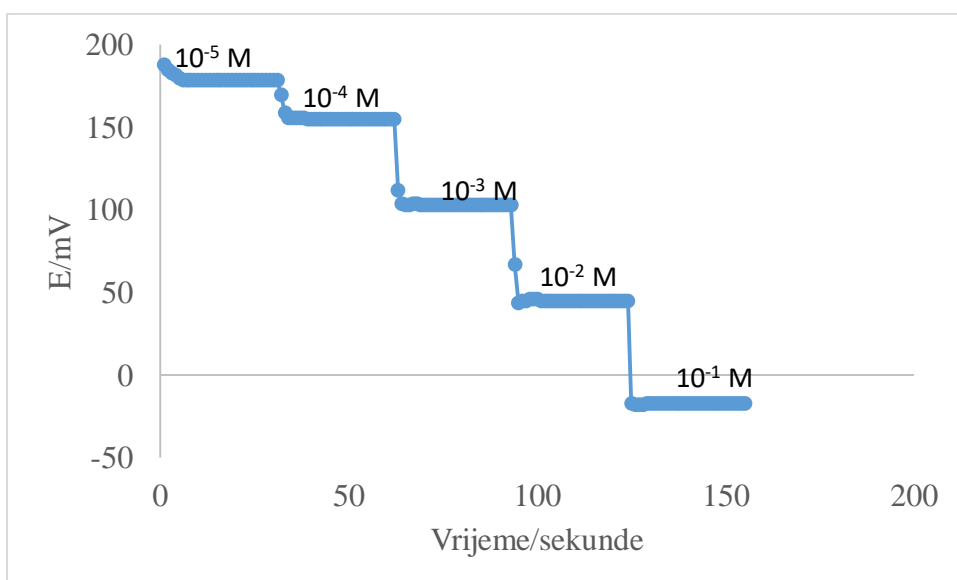
Slika 4.3.3. Promjena potencijala s vremenom za membranu $LaF_3(Eu\ 0,3\%)$ veličine $8 \times 1,5$ mm elektrolitni kontakt



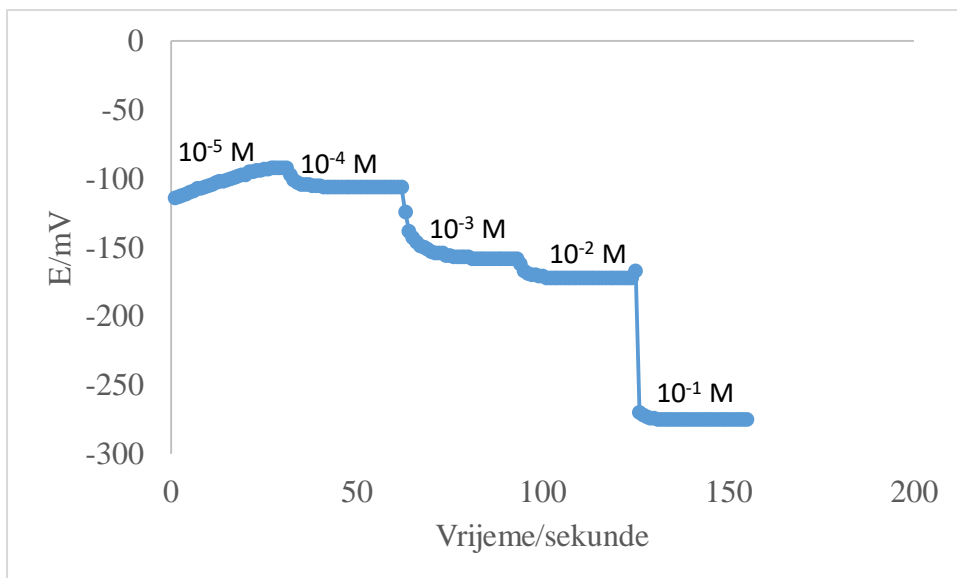
Slika 4.3.4. Promjena potencijala s vremenom za membranu $LaF_3(Eu\ 0,3\%)$ veličine $8 \times 1,5$ mm elektrolitni kontakt kondicionirana kontakt



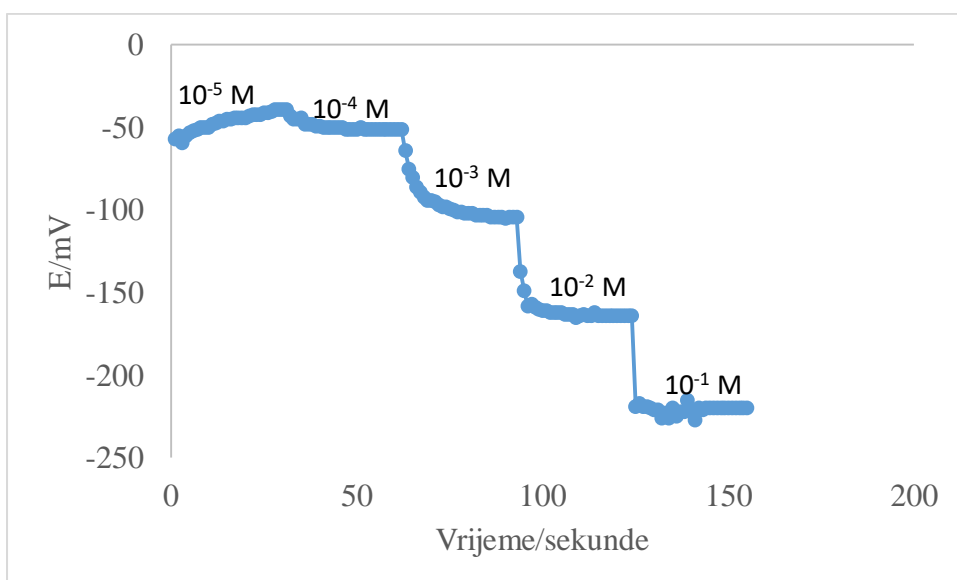
Slika 4.3.5. Promjena potencijala s vremenom za membranu $LaF_3(Eu\ 0,3\%)$ veličine $8 \times 1,5$ mm čvrsti kontakt s nanočesticama



Slika 4.3.6. Promjena potencijala s vremenom za membranu $LaF_3(Eu\ 0,3\%)$ veličine $8 \times 1,5$ mm kondicionirana jedan dan s nanočesticama



Slika 4.3.7. Promjena potencijala s vremenom za membranu $LaF_3(Eu\ 0,3\%)$ veličine $8 \times 1,5$ mm s nanočesticama kondicionirana dva dana



Slika 4.3.8. Promjena potencijala s vremenom za membranu $LaF_3(Eu\ 0,3\%)$ veličine $8 \times 1,5$ mm s nanočesticama kondicionirana tri dana

4.RASPRAVA

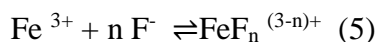
4. RASPRAVA

Fluorid (F^-) kao važana anion, nalazi se u različitim okolišima, kliničkim i prehrambenim uzorcima. Utvrđivanje fluoridnih iona u nekim uzorcima okoliša bilo je izvedeno koristeći ion– selektivne elektrode.⁷ Kod takvih elektroda linearno područje je od koncentracija 10^{-1} do 10^{-5} mol L^{-1} s promjenom potencijala po koncentracijskoj dekadi od 26 ± 2 mV. Nadalje, fluoridi se mogu ukloniti nizom procesa, uključujući adsorpciju, biosorpciju i ionsku izmjenu, membranskim procesima kao što su reverzna osmoza, nano-filtraciju, ili elektrodijalizu. Većina metoda za uklanjanje fluorida imaju nedostatke, uključujući i visoke početne cijene, nedostatak selektivnosti, mali kapacitet, i teškoće u radu ili regeneraciji. Fluor stvara stabilne komplekse u vodi s cijelim nizom metalnih iona a najčešće s Al^{3+} , Be^{2+} i Fe^{3+} ionima. S nekim elementima, primjerice borom tvori mješovite fluoro-hidroksi komplekse. Kako fluoridni ioni imaju isti naboj i gotovo isti radijus kao hidroksidni ioni, često se zamjenjuju u kristalnim strukturama tvoreći miješane komplekse metoda određivanja fluorida u različitim uzorcima. Svakako najvažnija elektroanalitička metoda za određivanje fluorida je potenciometrija s fluorid ionsko-selektivnom elektrodom (FISE) mjerenja mogu ići u temperaturnom rasponu od 0 do 50 °C. U LaF_3 tipu rešetke, ioni La^{3+} su okružen s 5 fluoridnih iona, a šest sljedećih bliskih susjeda su također fluoridi. Prema tome rešetka se sastoji od naizmjeničnih slojeva iona LaF_2^{2+} i slojeva fluorida. LaF_3 ima svojstva čvrstog elektrolita jer su fluoridni ioni u rešetci relativno mobilni.¹⁴

Slijedom naprijed navedenog u ovom završnom radu ispitivana je membrana $LaF_3(Eu\ 0,3\%)$ koja je kondicionirana ili sadrži nanočestice kako bismo predložili najpogodniju membranu za FISE koja bi se mogla koristiti s različitim unutarnjim kontaktima što bi omogućavalo i širu primjenu same elektrode. Ispitan je odziv ionsko-selektivne elektrode pri pH 4,7. Također i promjena potencijala FISE u ovisnosti o vremenu. Potencijal se uspostavlja u različitim vremenskim periodima ovisno o koncentraciji i vrsti membrane.

Ispitivanjem navedene membrane vidljivo je da pokazuje linearnu promjenu potencijala u području koncentracija od 10^{-1} do 10^{-5} mol L^{-1} . Promjena potencijala za membranu $LaF_3(Eu\ 0,3\%)$, veličine 8x1,5 mm koja nije bila kondicionirana je od 68 mV, odnosno 56 mV, kad je unutarnji elektrolitni kontakt promjena potencijala po koncentracijskoj dekadi je 50 mV, odnosno 55 mV, kada je elektroda bila kondicionirana preko noći u 10^{-3} mol L^{-1} fluorida. Potencijal elektrode kada su na površinu membrane nanosene nanočestice Fe_2O_3 , je 59 mV.

Kad je elektroda bila s unutarnjim elektrolitnim kontaktom i s nanočesticama Fe_2O_3 , potencijal nakon drugog dana kondicioniranja iznosio je 57 mV, nakon trećeg dana kondicioniranja iznosio je 65 mV. Iz zabilježenog vidljivo je da membrana pokazuje promjenu potencijala po koncentracijskoj dekadi (59 mV) koja vrijedi za jednovalentne ione. Međutim, fluorid s željezovim ionima reagira prema slijedećoj reakciji:



što upućuje na moguće nastajanje FeF_2^+ ili FeF^{2+} kompleksa.¹⁵ Za dvovalentne ione promjena potencijala po koncentracijskoj dekadi 48 mV što nije u skladu s promjenama dobivenim u ovom radu, pa zapravo možemo kazati da dolazi do izmjene iona iz nanočestica i otopine.

Ispitivanjem ovisnosti potencijala o vremenu zabilježeno je da elektroda s membranom $\text{LaF}_3(\text{Eu } 0,3\%)$ bez uspostavlja stabilan potencijal u prvih pet minuta. Uz unutarnji elektrolitni kontaktom i uz kondicioniranje elektrode stabilan potencijal se uspostavlja u prve 3 minute. Dok kod membrane s nanočesticama stabilan potencijal se uspostavlja ovisno o koncentraciji. Međutim, kad je elektroda kondicionirana jedan dan stabilan potencijal se uspostavlja unutar prve tri minute, kad je kondicionirana dva dana stabilan potencijal se uspostavlja unutar prve tri minute. Membrana s nanočesticama kondicionirana tri dana stabilan potencijal se uspostavlja unutar prve tri minute.

Literaturno je potvrđeno da vrijeme odziva ovisi o koncentraciji fluoridnih iona, a promjena potencijala dana je Mullerovim izrazom:¹⁶

$$E_t - E_1 = t / (a + bt) \quad (6)$$

gdje je E_t potencijal u vremenu t , E_1 ravnotežni potencijal u prvoj otopini, a a i b empirijske veličine. Općenito gledajući smisao ovakvih istraživanja je pronaći najjednostavniju FISE koja se može koristiti za određivanje u različitim eksperimentalnim uvjetima.

5.ZAKLJUČAK

5. ZAKLJUČAK

1. Kod testiranja odziva elektrode metodom razrjeđenja pri pH 4,7 elektroda linearno slijedi promjenu koncentracije fluoridnih iona, $c(\text{F}^-) = 1 \times 10^{-1}$ do $1,6 \times 10^{-5} \text{ mol L}^{-1}$ uz dekadske promjene potencijala od 68 mV za LaF_3 (Eu 0,3%) 8x1,5mm, 56 mV za LaF_3 (Eu 0,3%) 8x1,5mm, 50 mV za LaF_3 (Eu 0,3%) 8x1,5mm s elektrolitnim kontaktom, 55 mV za LaF_3 (Eu 0,3%) 8x1,5mm uz kondicioniranje. Za membranu s nanočesticama Fe_2O_3 s unutarnjim čvrstim kontaktom promjena potencijala je 59 mV, nakon kondicioniranja od jednog dana iznosi 57 mV, a nakon trećeg dana kondicioniranja iznosi 65 mV. Koeficijent linearne regresije bio je veći od 0,9.
2. Ispitivanjem promjene potencijala u ovisnosti o vremenu utvrđeno je da elektroda unutar pet minuta uspostavlja stabilan potencijal.
3. Promjena potencijala po koncentracijskoj dekadi je u skladu sa teoretskom vrijednosti (59 mV), osim uz kondicioniranje, za jednovalentne ione (29 mV) gdje dolazi do znatnog odstupanja.

6.LITRERATURA

6. LITERATURA

1. https://www.periodni.com/enig/potenciometrijski_senzori.html (16.09.2019)
2. <https://www.sciencedirect.com/topics/chemistry/indicator-electrode> (16.09.2019.)
3. *P. Grundler*, Chemical sensors, Springer-Verlag, (2010).
4. *D. Skoog, D.M. West, J.F. Holler*, Osnove analitičke kemije, Školska knjiga, (1999).
5. *A. Kelavić*, Diplomski rad, KTF Split, (2016).
6. *I. Piljac*, Senzori fizikalnih veličina i elektroanalitičke metode, Media Print, (2010).
7. *G. Somer., S. Kalayci, I. Basak*, Preparation of a new solid state fluoride ion selective electrode and application, *Talanta*, **80** ((2010) 1129–1132
8. Instruction Manual for Fluoride Electrodes, Orion Research, (2005).
9. *D. A. Skoog, D.H. West, F. J. Holler*, Fundamental of an chem., Saunders college publishing, Brooks Cole, (1996).
10. <https://www.sciencedirect.com/science/article/pii/B9781856172332500052> (16.09.2019.)
11. *N. Kujundžić*, Diplomski rad, KTF Split, (2005).
12. *M. Bačić*, Diplomski rad, KTF Split, (2017).
13. *M. R. Ganjali, P. Matloobi, M. Ghorbani, P. Norouzi, M. S. Niasari*, La (III) Selective Membrane Sensor Based on a New N-N Schiff's Base, *Bull. of the Kor. Chem. Soc.*, **26**, (2005)., 38-42
14. *S. Tokaliouglu, S. Kartal, U. Sahin*, Determination of Fluoride in Various Samples and Some Infusions Using a Fluoride Selective Electrode, *Ercityes Uni., Fac. Of Arts and Sciences, Department of Chem.*, **28** (2004) 203
15. *W. Moritz, L. Miller*, Mechanistic study of fluoride ion sensor, *Analyst*, **116**, (1991)., 589-594.
16. *M. Bralić, N. Radić*, Flow injection potencimetic determination of Fe (III) using a fluoride – selective electrode as detector. *Analysis* 27, (1999)., 57-60